

Correction du DS1 du 2 octobre 2024

Partie 1

Q1: $\vec{V}_{I_n \in I_0} = \vec{V}_{O \in I_0} + \vec{I}_0 \wedge \vec{\Omega}_{1/0}$

$$= V_x \vec{x}_n + V_y \vec{y}_n + (\vec{I}_n B_n + B_n \vec{A}_n + A_n \vec{O}) \wedge \dot{\theta} \vec{z}_n$$
$$= V_x \vec{x}_n + V_y \vec{y}_n + (r \vec{z}_n + R \vec{z}_n - a \vec{x}_n - b \vec{y}_n) \wedge \dot{\theta} \vec{z}_n$$
$$= V_x \vec{x}_n + V_y \vec{y}_n + a \dot{\theta} \vec{y}_n - b \dot{\theta} \vec{x}_n$$

$$\vec{V}_{I_n \in I_0} = (V_x - b \dot{\theta}) \vec{x}_n + (V_y + a \dot{\theta}) \vec{y}_n$$

Q2: $\vec{V}_{A_1 \in I_0/I_1} = \vec{0}$ puisque A_1 est sur l'axe de rotation entre I_0 et I_1

Q3: $\vec{V}_{B_1 \in I_1/I_0} = \vec{0}$ puisque B_1 est sur l'axe de rotation entre I_1 et I_0

Q4: $\vec{V}_{I_1 \in I_1/I_0} = \vec{V}_{I_1 \in I_1/I_1} + \vec{V}_{I_1 \in I_0/I_1}$ (composition des vitesses)

on connaît déjà $\vec{V}_{I_n \in I_0}$ (Q1)

déterminons $\vec{V}_{I_n \in I_1/I_1} = \vec{V}_{I_n \in I_1/I_0} + \vec{V}_{I_n \in I_0/I_1}$

$$= \vec{V}_{B_1 \in I_1/I_0} + \vec{I}_n B_1 \wedge \vec{\Omega}_{1/0}$$
$$+ \vec{V}_{A_1 \in I_0/I_1} + \vec{I}_1 A_1 \wedge \vec{\Omega}_{10/I_1}$$

d'où d'après Q2 et Q3

$$\vec{V}_{I_n \in I_1/I_1} = r \vec{z}_n \wedge \beta_{11} \vec{x}_{11} + (r+R) \vec{z}_n \wedge \omega_{10} \vec{x}_n$$

$$\text{or } \vec{x}_{11} = \cos(\alpha_{11}) \vec{x}_1 + \sin(\alpha_{11}) \vec{y}_1$$

$$\text{d'où } \vec{V}_{I_1 \in II_1} = r \dot{\beta}_{11} (\cos \alpha_{11} \vec{y}_1 - \sin(\alpha_{11}) \vec{x}_1) + (r+R) \omega_{10} \vec{y}_1$$

Finalment :

$$\vec{V}_{I_1 \in II_1} = (-r \dot{\beta}_{11} \sin \alpha_{11} + V_x - b\dot{\theta}) \vec{x}_1 + (V_y + a\dot{\theta} + r \dot{\beta}_{11} \cos \alpha_{11} + (r+R) \omega_{10}) \vec{y}_1$$

$$\text{or } \alpha_{11} = -45^\circ \quad \text{d'où } \sin \alpha_{11} = -\frac{\sqrt{2}}{2} \quad \cos \alpha_{11} = \frac{\sqrt{2}}{2}$$

$$\text{et } \dot{\theta} = \omega$$

$$\vec{V}_{I_1 \in II_1} = \left(\frac{\sqrt{2}}{2} r \dot{\beta}_{11} + V_x - b\omega \right) \vec{x}_1 + \left(V_y + a\omega + \frac{\sqrt{2}}{2} r \dot{\beta}_{11} + (r+R) \omega_{10} \right) \vec{y}_1$$

le roulement sans glissement donne $\vec{V}_{I_1 \in II_1} = \vec{0}$

d'où les deux équations scalaires :

$$\begin{cases} \frac{\sqrt{2}}{2} r \dot{\beta}_{11} + V_x - b\omega = 0 & (1) \\ \frac{\sqrt{2}}{2} r \dot{\beta}_{11} + V_y + a\omega + (r+R) \omega_{10} = 0 & (2) \end{cases}$$

Q5 $W = MV$

(1) donne $\frac{\sqrt{2}}{2} r \dot{\beta}_{11} = b\omega - V_x$ dans (2) cela donne :

$$b\omega - V_x + V_y + a\omega + (r+R) \omega_{10} = 0$$

$$\text{d'où } \omega_{10} = \frac{1}{r+R} (V_x - V_y - (a+b)\omega)$$

pour les autres vitesses de rotation on a de la même façon

$$\omega_{20} = \frac{1}{r+R} \left((a+b)\omega - V_x - V_y \right)$$

$$\omega_{30} = \frac{1}{r+R} \left((a+b)\omega + V_x - V_y \right)$$

$$\omega_{40} = \frac{1}{r+R} \left(-(a+b)\omega - V_x - V_y \right)$$

d'où

$$M = \frac{1}{r+R} \begin{pmatrix} -(a+b) + 1 & -1 & -1 \\ (a+b) & -1 & -1 \\ (a+b) + 1 & -1 & -1 \\ -(a+b) & -1 & -1 \end{pmatrix}$$

Q6:

$$\underline{W_1} = M \cdot \begin{pmatrix} 0 \\ 0 \\ 1 \end{pmatrix} = \frac{1}{(r+R)} \begin{pmatrix} -1 \\ -1 \\ -1 \\ -1 \end{pmatrix}$$

$$\underline{W_2} = M \cdot \begin{pmatrix} 0 \\ 1 \\ 0 \end{pmatrix} = \frac{1}{(r+R)} \begin{pmatrix} +1 \\ -1 \\ +1 \\ -1 \end{pmatrix}$$

$$\underline{W_3} = M \cdot \begin{pmatrix} 0 \\ 1 \\ 1 \end{pmatrix} = \frac{1}{(r+R)} \begin{pmatrix} 0 \\ -2 \\ 0 \\ -2 \end{pmatrix}$$

Q7 Connaissant W on peut déterminer les trois composantes de V de façon unique puisque la 4^{ème} ligne de

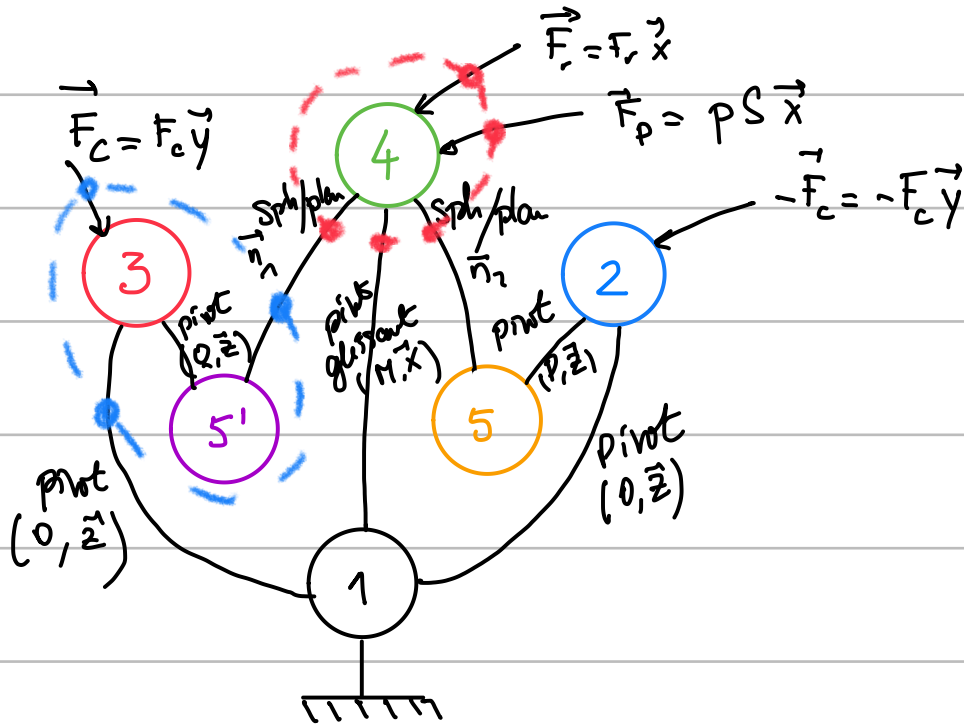
la matrice est une combinaison linéaire des 3 premières

$$l_4 = l_1 + l_2 - l_3 \Rightarrow \underline{3 \text{ équations indépendantes et}}$$

3 inconnues \Rightarrow une solution unique.

Partie 2

Q8



Q9 On isole 4 (frontière rouge ---) sur le graphe d'analyse on compte 5 torseurs extérieurs :

$$\left\{ \mathcal{L}_{1 \rightarrow 4}^{\text{Pivot Glissant}} \right\}_M = \left\{ \begin{array}{l} Y_{14} \vec{y} + \cancel{Z_{14} \vec{z}} \\ \cancel{M_{14} \vec{y}} + N_{14} \vec{z} \end{array} \right\}_M$$

$$\left\{ \mathcal{L}_{5 \rightarrow 4}^{\text{Sph/plan}} \right\}_L = \left\{ \begin{array}{l} F_{s4} \vec{n}_2 \\ \vec{0} \end{array} \right\}_L$$

$$\left\{ \mathcal{L}_{5' \rightarrow 4}^{\text{Sph/plan}} \right\}_A = \left\{ \begin{array}{l} F_{s4} \vec{n}_1 \\ \vec{0} \end{array} \right\}_A$$

$$\left\{ \mathcal{L}_{\text{pivot} \rightarrow 4} \right\}_M = \left\{ \begin{array}{l} F_r \vec{x} \\ \vec{0} \end{array} \right\}_M$$

$$\left\{ \mathcal{L}_{\text{huile} \rightarrow 4} \right\}_M = \left\{ \begin{array}{l} -pS \vec{x} \\ \vec{0} \end{array} \right\}_M$$

Q10 5 et 5' sont soumis à 2 torseurs glisseurs, les efforts transmis par 5 et 5' sont dirigés selon \vec{n}_1 et \vec{n}_2

$$\Rightarrow \underline{X_{S'4}} = -\tan 15^\circ Y_{S'4} = \underline{-0,27 Y_{S'4}}$$

$$\Rightarrow \underline{X_{54}} = \tan 15^\circ Y_{54} = \underline{0,27 Y_{54}}$$

Q11 Appliquons le Théorème de la résultante statique en projection sur \vec{x} ce qui donne:

$$-X_{54} - X_{S'4} + F_r - pS = 0$$

on a supposé que $\|\vec{F}_{54}\| = \|\vec{F}_{S'4}\|$ ce qui donne

$$2X_{54} = F_r - pS \quad X_{54} = \frac{F_r - pS}{2}$$

alors $\boxed{Y_{54} = 0,27 \frac{F_r - pS}{2}}$

$\boxed{Y_{S'4} = -0,27 \frac{F_r - pS}{2}}$

Q12: On isole l'ensemble $\{3,5'\}$ (frontière de ...)

Sur le graphe d'analyse on compte 3 torseurs extérieurs.

$$\left\{ \mathcal{F}_{c \rightarrow 3}^{\vec{F}_c} \right\}_c = \left\{ \begin{array}{c} \vec{F}_c \vec{y} \\ \vec{0} \end{array} \right\}_c \quad \left\{ \mathcal{F}_{S' \rightarrow 3} \right\}_Q = \left\{ \begin{array}{c} -X_{S'4} \vec{x} - Y_{S'4} \vec{y} \\ \vec{0} \end{array} \right\}_Q$$

$$\left\{ \mathcal{F}_{1 \rightarrow 3}^{\text{Pivot}} \right\}_O = \left\{ \begin{array}{c} X_{13} \vec{x} + Y_{13} \vec{y} \\ \vec{0} \end{array} \right\}_O \quad (\text{hypothèse plane})$$

Q13: On applique le théorème du moment statique en O:

$$-F_c \times 26 + X_{S'4} \times 4,5 - Y_{S'4} \times 47 = 0$$

$$\text{d'où } F_c = \frac{-4,5 \cdot X_{S'4} + 47 Y_{S'4}}{26} = \frac{-4,5 \cdot X_{S'4} + 0,27 \times 47 X_{S'4}}{26}$$

$$\underline{F_c} = \frac{-4,5 + 0,27 \times 47}{26} \times X_{S'4} = \underline{0,315 \times \frac{F_r - pS}{2}}$$

$$\text{A.N. } F_c = 0,15 (250 - 25 \times 10^6 \times \pi \times 0,02^2)$$

$$\boxed{F_c = -4875 \text{ N}}$$

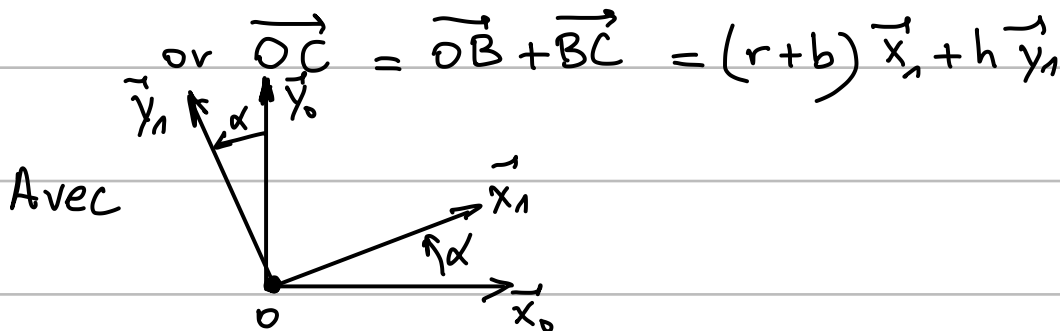
$$\underline{Q14} \quad \frac{F_c}{S_c} > 500 \times 10^6 \Rightarrow S_c < \frac{F_c}{500 \times 10^6} = \frac{4875}{500 \times 10^6} = \underline{9,7 \times 10^{-6}}$$

Si on suppose que le câble a une section circulaire

cela donne un câble de diamètre maxi = 3,45 mm

Partie 3 :

Q15 : D'après la figure 4 $y_c = \vec{OC} \cdot \vec{y}_0$



$$\text{alors } \vec{OC} = (r+b)(\cos\alpha \vec{x}_0 + \sin\alpha \vec{y}_0) + h(-\sin\alpha \vec{x}_0 + \cos\alpha \vec{y}_0)$$

$$\text{d'où } \vec{OC} \cdot \vec{y}_0 = \boxed{y_c = (r+b)\sin\alpha + h\cos\alpha}$$

$$\underline{Q16} : y_c \text{ max pour } \frac{dy_c}{d\alpha} = 0 \quad \frac{dy_c}{d\alpha} = (r+b)\cos\alpha - h\sin\alpha = 0$$

$$\Rightarrow \boxed{\frac{r+b}{h} = \tan\alpha}$$

$$\text{A.N. } \alpha = \text{Arctan } \frac{720 + 480}{670} \Rightarrow \underline{\alpha = 60,8}$$

$$\text{alors } \underline{y_{c \text{ max}}} = (720 + 480) \sin 60,8 + 480 \cos(60,8)$$

$$= \underline{1281,7 \text{ mm}} > 1260 \text{ mm l'exigence 1.3 n'est pas vérifiée.}$$

Q 17 La trajectoire de C_1 est un arc de cercle

Q 18 La trajectoire de C_2 est un segment rectiligne

Q 19 D'après la figure 7 on a $v_{c \max} = 1250,5 \text{ mm}$

$v_{c \max} < 1260 \text{ mm}$ Id 1.3 est vérifié

Q 20: La sortie du réducteur doit décrire un angle de π (demi-tour) entre $t=t_0$ et $t=t_3$

$$\omega_r = \frac{d\theta_r}{dt} \quad \text{donc} \quad \theta_r = \int_{t_0}^{t_3} \omega_r(t) dt$$

or a donc $\pi = \int$ surface sous la courbe de $\omega_r(t)$

$$\pi = \frac{t_1 \times \omega_{\max}}{2} + (t_2 - t_1) \omega_{\max} + \frac{\omega_{\max}}{2} (t_3 - t_2)$$

ce qui donne $\omega_{\max} = \frac{2\pi}{t_1 + 2(t_2 - t_1) + (t_3 - t_2)}$

$$\omega_{\max} = \frac{2\pi}{t_2 - t_1 + t_3}$$

A.N. $\omega_{\max} = \frac{2\pi}{2,5 - 0,5 + 3} = \frac{2\pi}{5} \text{ rad/s}$

$\omega_{\max} = 1,26 \text{ rad/s}$

Q 21: $\omega_{\max \text{ moteur}} = \frac{\omega_{r \max}}{k} = 107,7 \times 1,26$

$\omega_{\max \text{ moteur}} = \underline{135,3 \text{ rad/s}} = \underline{1292 \text{ tr/min}}$

Q 22: $\left\{ \mathcal{L}_{S_0 \rightarrow S_1}^1 \right\}_{A_1} = \left\{ \begin{matrix} F_{01}^1 \vec{x}_{11} \\ \vec{0} \end{matrix} \right\}_{A_1}$ (liaison sphère / plan dans le plan (\vec{x}_0, \vec{y}_0))

$\left\{ \mathcal{L}_{S_0 \rightarrow S_1}^2 \right\}_{A_2} = \left\{ \begin{matrix} F_{01}^2 \vec{x}_{12} \\ \vec{0} \end{matrix} \right\}_{A_2}$ (liaison sphère / plan dans le plan (\vec{x}_0, \vec{y}_0))

Ce sont des glisseurs puisque les moments sont nuls en I

Q 23: La somme des 2 torseurs est un torseur de moment nul si on la calcule en I ($M_{I, F_{01}^1} = M_{I, F_{01}^2} = \vec{0}$)

Q 24: Le poids de la balle est négligé et la balle est soumise à deux glisseurs transmis en D (liaison pivot) et en B (liaison sphérique), l'effort \vec{F}_B est donc porté par le vecteur \vec{x}_2 .

Q 25 On isole le système 1 :

le B.A.M.E donne : $\left\{ \mathcal{L}_{\text{porteur}}^P \right\}_G ; \left\{ \mathcal{L}_{S_0 \rightarrow S_1}^{F_{01}^1} \right\}_{A_1}$
 $\left\{ \mathcal{L}_{S_0 \rightarrow S_1}^{F_{01}^2} \right\}_{A_2} ; \left\{ \mathcal{L}_{S_2 \rightarrow S_1}^{\vec{F}_B} \right\}_B$

On applique le théorème du moment statique en I

Ce qui donne $\vec{M}_{I, \vec{P}} + \vec{M}_{I, F_{01}^1} + \vec{M}_{I, F_{01}^2} + \vec{M}_{I, \vec{F}_B} = \vec{0}$

$$\vec{IG} \wedge \vec{P} + \vec{IB} \wedge \vec{F}_B = \vec{0}$$

$$(x_G \vec{x}_0 + y_G \vec{y}_0) \wedge (-mg \vec{y}_0) + L_2 \vec{x}_{12} \wedge F_B \vec{x}_2 = \vec{0}$$

$$-x_G mg \vec{z}_0 + L_2 (\cos \alpha_{12} \vec{x}_0 + \sin \alpha_{12} \vec{y}_0) \wedge F_B (\cos \alpha_2 \vec{x}_0 + \sin \alpha_2 \vec{y}_0) = \vec{0}$$

$$-x_G mg \vec{z}_0 + F_B L_2 (\cos \alpha_{12} \sin \alpha_2 - \sin \alpha_{12} \cos \alpha_2) \vec{z}_0 = \vec{0}$$

d'où
$$F_B = \frac{x_G mg}{L_2 \sin(\alpha_{12} - \alpha_2)}$$

Q26 On isole le solide S_3 et on applique le théorème du moment statique en E

le BAME donne :
$$\left\{ \mathcal{C}_{S_2 \rightarrow S_3}^{\text{réaction}} \right\}_E = \left\{ \begin{array}{c} \vec{0} \\ C_{red} \vec{z}_0 \end{array} \right\}_E$$

$$\left\{ \mathcal{C}_{S_2 \rightarrow S_3}^{\vec{F}_B} \right\}_D = \left\{ \begin{array}{c} F_B \vec{x}_2 \\ \vec{0} \end{array} \right\}_D$$

TMS donne
$$\vec{M}_{E, C_{red}} + \vec{M}_{E, \vec{F}_B} = \vec{0}$$

$$C_{red} \vec{z}_0 + \vec{ED} \wedge \vec{F}_B = \vec{0}$$

$$C_{red} \vec{z}_0 + R \vec{x}_3 \wedge F_B \vec{x}_2 = \vec{0}$$

$$C_{red} \vec{z}_0 + R F_B (\cos \alpha_3 \vec{x}_0 + \sin \alpha_3 \vec{y}_0) \wedge (\cos \alpha_2 \vec{x}_0 + \sin \alpha_2 \vec{y}_0) = \vec{0}$$

$$C_{red} \vec{z}_0 + R F_B (\cos \alpha_3 \sin \alpha_2 - \sin \alpha_3 \cos \alpha_2) \vec{z}_0 = \vec{0}$$

$$C_{red} \vec{z}_0 + R F_B \sin(\alpha_2 - \alpha_3) \vec{z}_0 = \vec{0}$$

ce qui donne l'égalité scalaire

$$C_{red} - R F_B \sin(\alpha_3 - \alpha_2) = 0$$

Q27 D'où $C_{red} = R F_B \sin(\alpha_3 - \alpha_2)$

$$C_{red} = \frac{R x_{cm} mg}{L_2 \sin(\alpha_2 - \alpha_1)} \times \sin(\alpha_3 - \alpha_2)$$

A.N. $C_{red} = \frac{0,086 \cdot 0,506 \cdot 80 \cdot 9,81}{0,14 \sin(108 - 3)} \times \sin(91 - 3)$

$$= \underline{252,4 \text{ N.m}}$$

Q28 On suppose le rendement du réducteur égal à 1:

$$\eta = 1 = \frac{P_{sortie}}{P_{entrée}} = \frac{C_{red} \omega_r}{C_{mot} \omega_m}$$

d'où $C_{mot} = C_{red} \times \frac{\omega_r}{\omega_m} = \boxed{k C_{red} = C_{mot}}$

A.N. $C_{mot} = \frac{1}{107,7} \times 252,4 = \underline{2,34 \text{ N.m}}$

Partie 4:

Q29: $V = r_c \omega_{10}$

Q30 Roulement sans glissement de la roue 2

$$\begin{aligned} \vec{V}_{I \in 2/0} = \vec{0} &= \vec{V}_{I \in 2/1} + \vec{V}_{I \in 1/0} \\ &= \underbrace{\vec{V}_{A \in 2/1}}_{\parallel \vec{0}} + \vec{IA} \wedge \vec{\Omega}_{2/1} + \underbrace{\vec{V}_{O \in 1/0}}_{\parallel \vec{0}} + \vec{IO} \wedge \vec{\Omega}_{1/0} \end{aligned}$$

$$\vec{V}_{IE2/0} = \vec{0} = R \vec{z}_1 \wedge \omega_{21} \vec{x}_1 - \left(r_c - \frac{L}{2}\right) \vec{x}_1 \wedge \omega_{10} \vec{z}_1$$

$$R \omega_{21} \vec{y}_1 + \left(r_c - \frac{L}{2}\right) \omega_{10} \vec{y}_1 = \vec{0}$$

ce qui donne la relation :

$$R \omega_{21} + \left(r_c - \frac{L}{2}\right) \omega_{10} = 0$$

$$\text{or } r_c = \frac{V}{\omega_{10}} \quad \text{d'où } R \omega_{21} + \left(\frac{V}{\omega_{10}} - \frac{L}{2}\right) \omega_{10} = 0$$

$$\text{alors } \boxed{R \omega_{21} + V - \frac{L}{2} \omega_{10} = 0}$$

Q 31: $\frac{\omega_{21}}{\omega_{41}} = k$ d'où $\omega_{41} = \frac{\omega_{21}}{k}$

dans l'expression de la question 30 cela donne

$$R k \omega_{41} + V - \frac{L}{2} \omega_{10} = 0$$

$$\boxed{\omega_{41} = \frac{L \omega_{10} - 2V}{2Rk}}$$

Q 32 Par analogie on a la relation :

$$R \omega_{31} + \left(r_c + \frac{L}{2}\right) \omega_{10} = 0$$

$$\text{de plus } \frac{\omega_{31}}{\omega_{51}} = k \quad \omega_{31} = k \omega_{51} \quad \text{et } r_c = \frac{V}{\omega_{10}}$$

$$\text{d'où } R k \omega_{51} + V + \frac{L}{2} \omega_{10} = 0$$

$$\boxed{\omega_{51} = \frac{-L \omega_{10} - 2V}{2Rk}}$$

Q 33 La variation d'angle de 360° est codée sur 10 bits, c'est à dire qu'il y a $2^{10} = 1024$ possibilités de codage, la précision est donc de $\frac{360^\circ}{1024} = \underline{0,35}$

Q 34 δ est limité de -45° à $+45^\circ$, la plage est donc de 90° centré sur 0 ce qui donne $\frac{1024}{4} = \underline{256}$ positions

Q 35 on a $a_f = \frac{V^2}{r_c}$ or $V = r_c \omega_{10} \Rightarrow r_c = \frac{V}{\omega_{10}}$

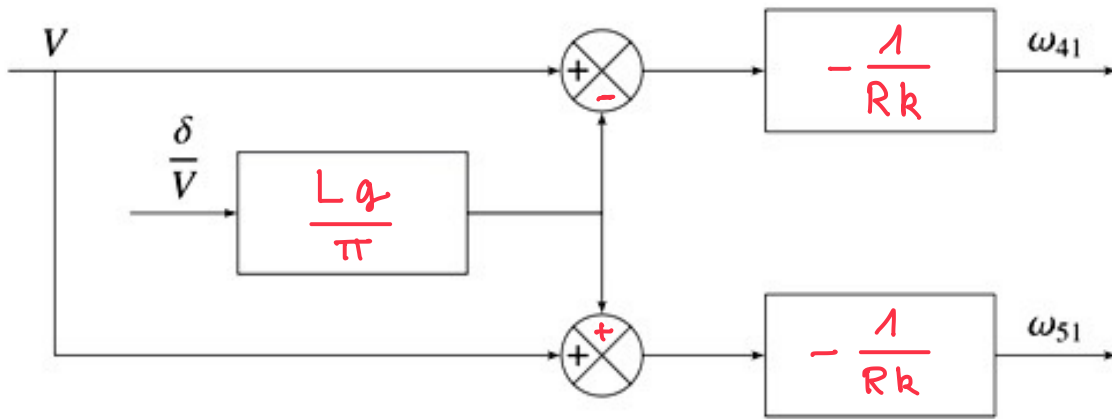
$$\text{alors } \underline{a_f} = \frac{V^2}{\frac{V}{\omega_{10}}} \times \omega_{10} = \underline{V \omega_{10}}$$

A.N. $a_{f \max} = 0,5g$ $V_{\max} = 10 \text{ km/h} = 2,77 \text{ m/s}$

d'où $\omega_{10 \max} = \frac{a_{f \max}}{V_{\max}}$

A.N. $\underline{\omega_{10 \max}} = \frac{0,5 \times 9,81}{2,77} = \underline{1,76 \text{ rad/s}}$

Q36 On a l'expression $V - L \frac{g\delta}{\sqrt{\pi}} = -Rk\omega_{41}$
donc $\omega_{41} = -\frac{1}{Rk} \left(V - L \frac{g\delta}{\sqrt{\pi}} \right)$



FIN

